



Applications médicales du matériau verre

J.M. Nedelec

Clermont Auvergne INP & IUF
Institut de Chimie de Clermont-Ferrand



CAMPUS
DES MÉTIERS
ET DES
QUALIFICATIONS
*Design, matériaux
et innovation*
Auvergne-Rhône-Alpes

La maladie des os de verre

L'ostéogenèse imparfaite « osteogenesis imperfecta »



« Incassable » Night Shyamalan 2000

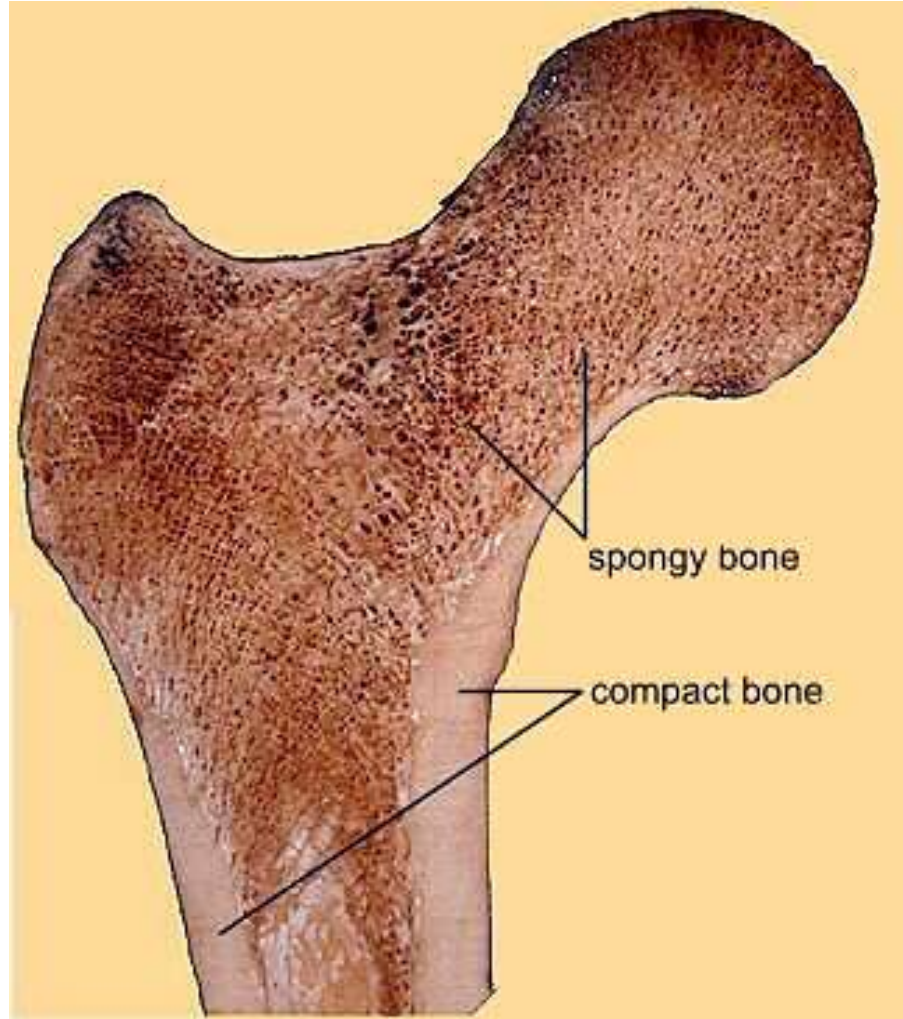


Michel Petrucciani 1962 -1999

L'Os : tissu conjonctif

Il existe deux types structuraux de base pour l'os :

compact et spongieux



L'Os : matériau composite

Os = Matrice Extra-Cellulaire + Partie minérale

Fibres de collagène 90%

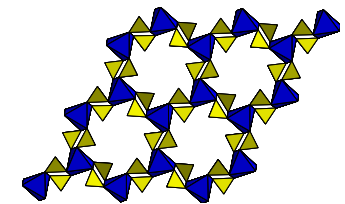
Glycoprotéines

Protéoglycanes

Cristaux d'Hydroxyapatite



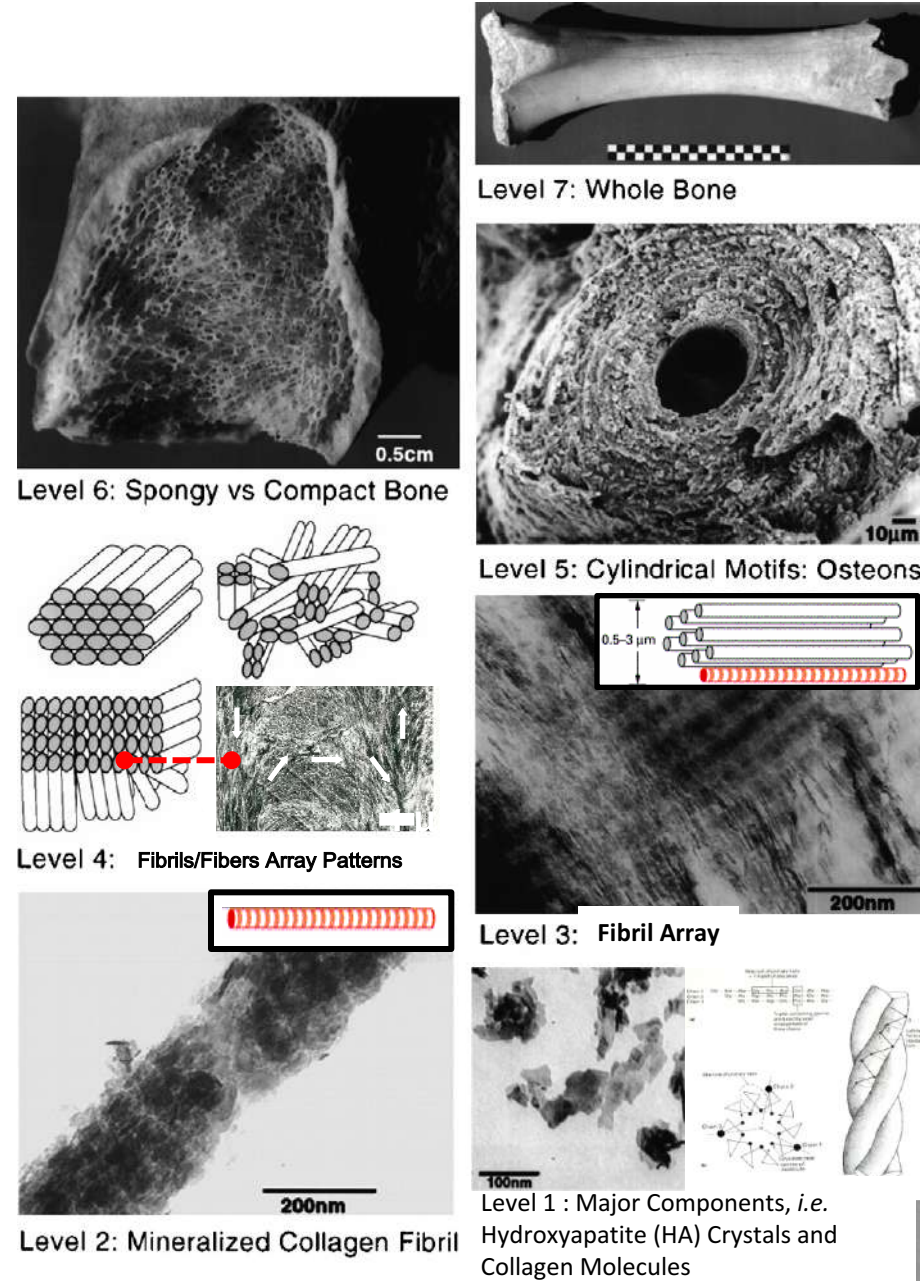
$$\text{Ca/P}=1,66$$



Le squelette n'est pas figé :

- **Ostéoclastes** dégradent l'os ancien
- **Ostéoblastes** synthétisent la nouvelle matrice minéralisée

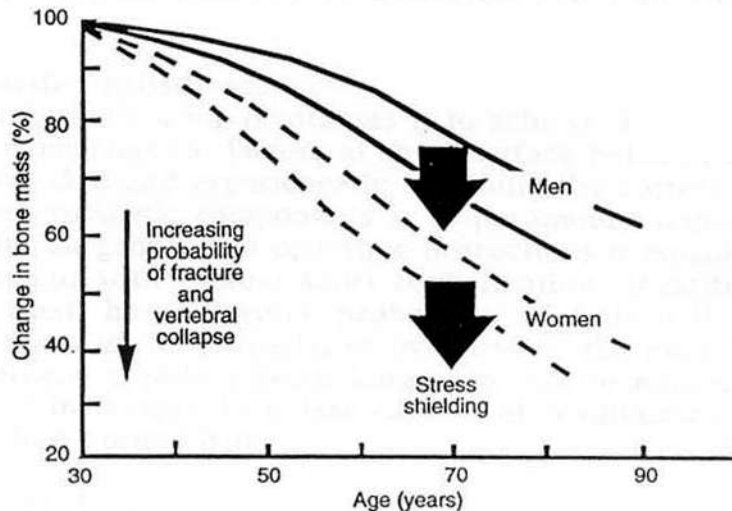
Organisation Hiérarchique dans l'Os



La problématique

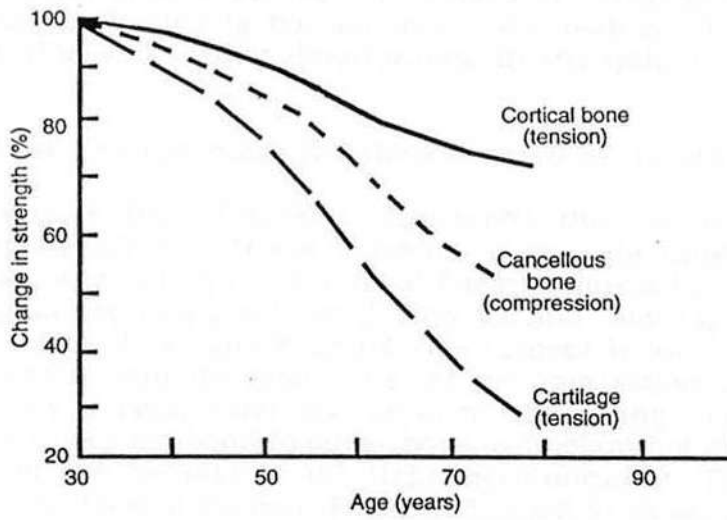
Effet du vieillissement

Densité osseuse



G.R. Mundy Nature (1994)

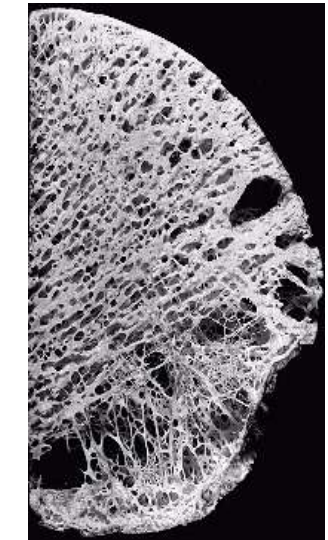
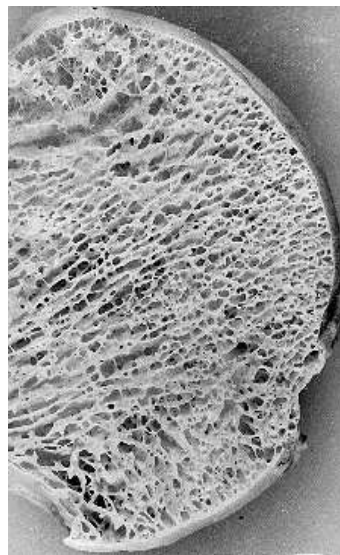
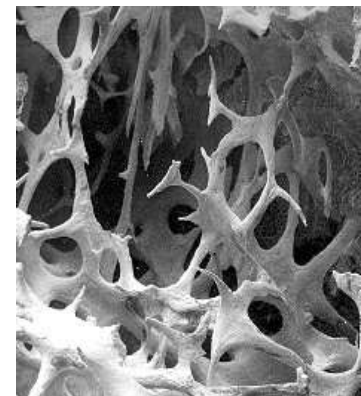
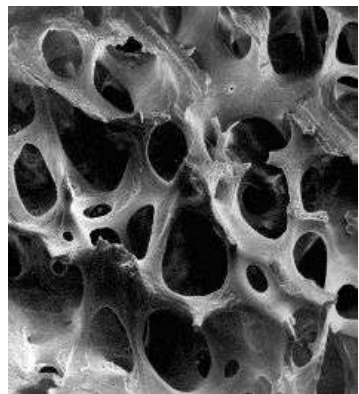
Propriétés mécaniques



H. Yamada (1970)

Pathologies des os

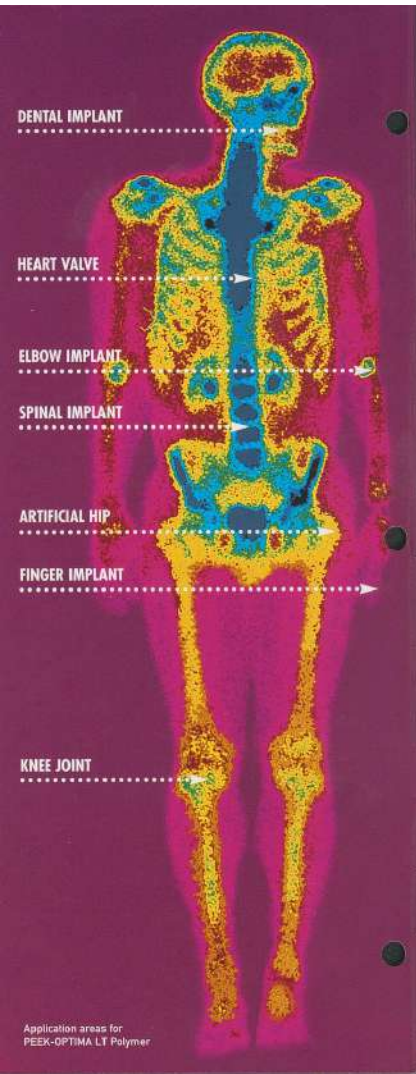
- L'ostéoporose
- L'ostéopétrose
- La maladie de Paget
- Le cancer
- Fractures / Trauma



Os sain

Os ostéoporotique

Céramiques Bioactives



Le concept de **matériaux Bioactifs** est intermédiaire entre matériaux bioinertes et biorésorbables.

“Un matériau bioactif est un matériau qui induit une réponse biologique spécifique à l’interface avec le matériau, réponse qui a pour conséquence la formation d’une liaison entre les tissus et le matériau.”

Céramiques Bioactives

Cristallisées: HAp

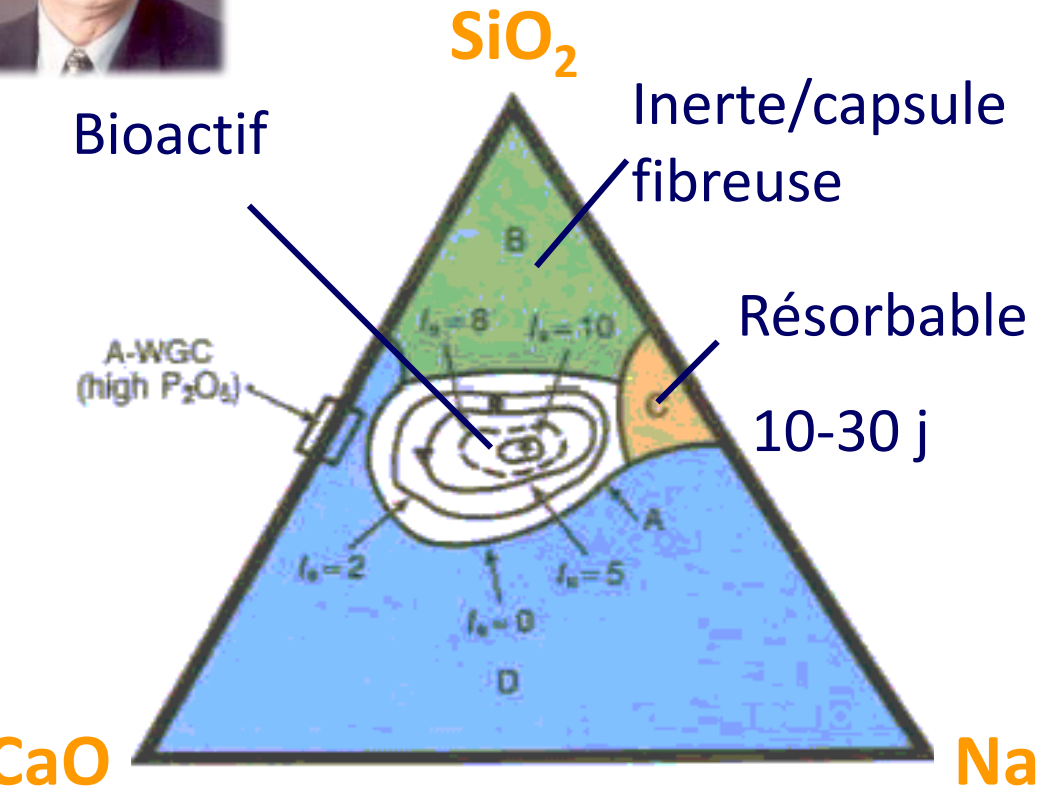
Amorphes : Bioverres



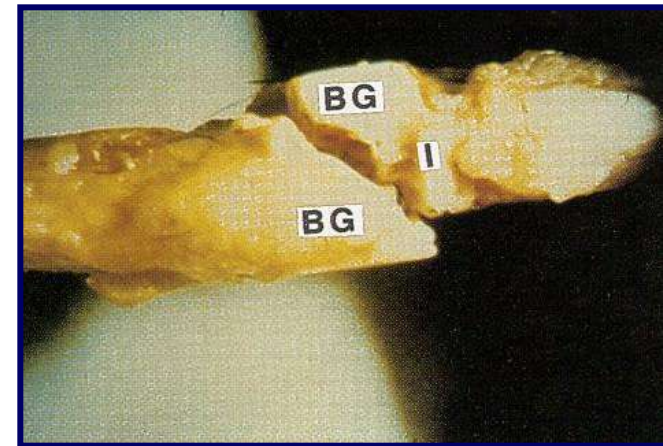
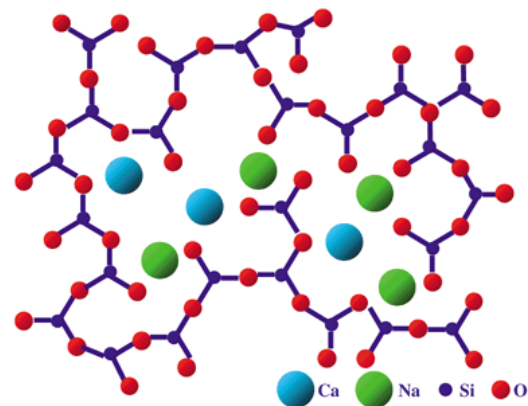
Stimuler le processus naturel de
régénération tissulaire



Bioglass® (L.L. Hench et al.)

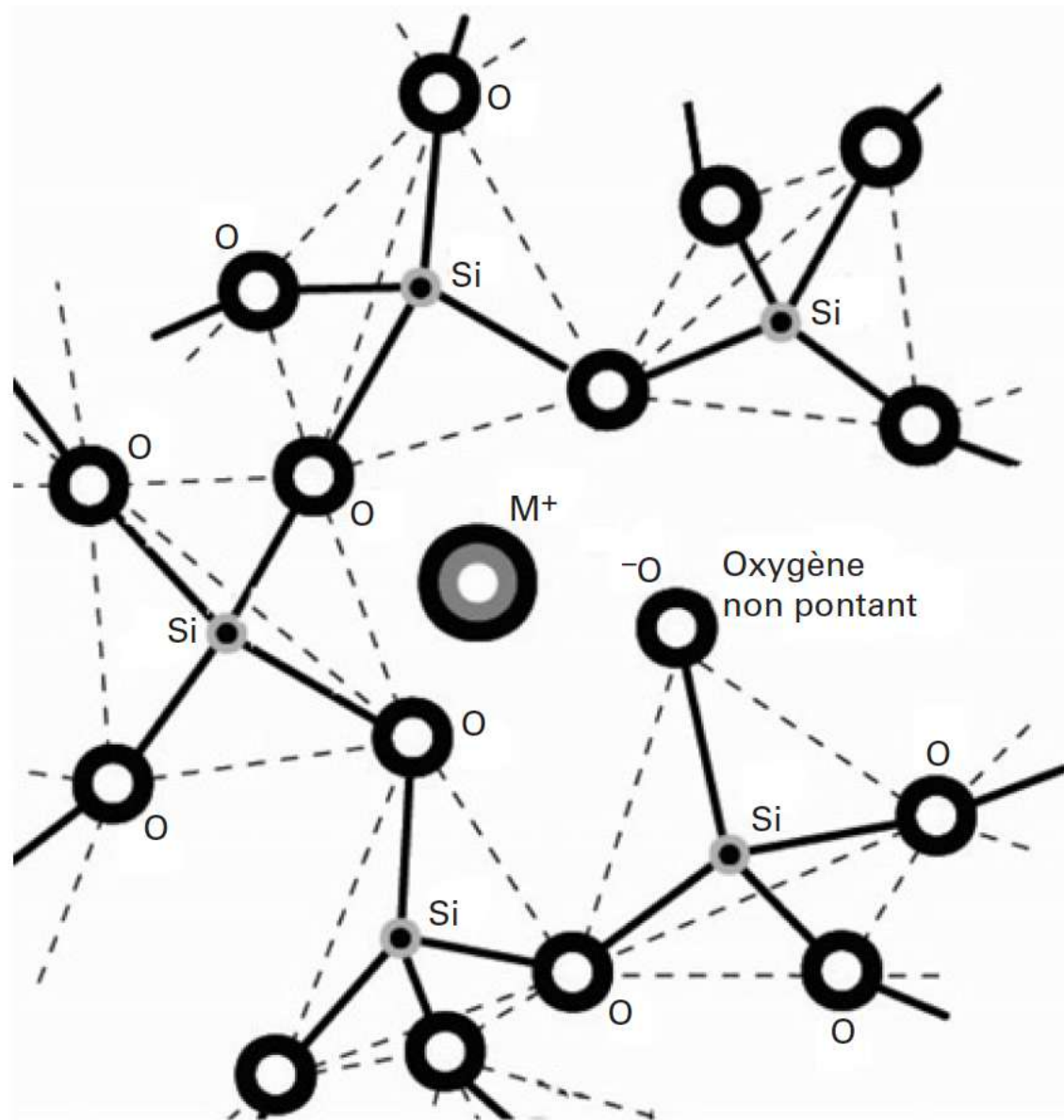


Bioactivité = fonction (composition)



Lien interfacial fort

Premier matériau synthétique Bioactif : 45S5



Applications

Remplacement des os de l'oreille interne

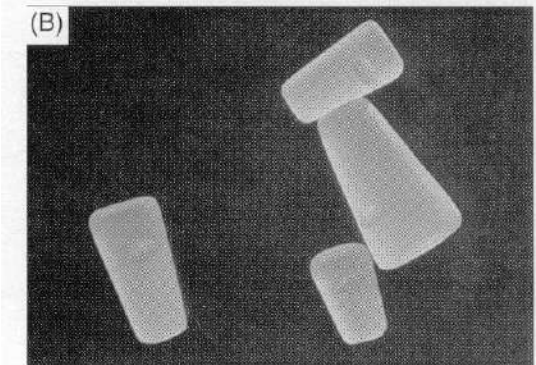
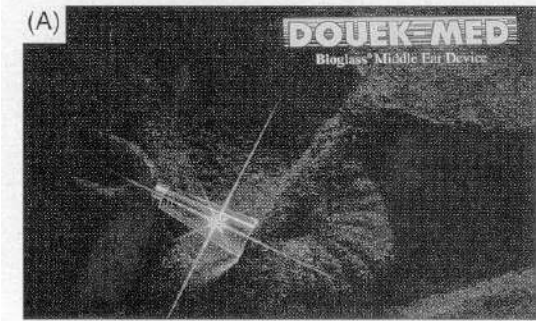


Fig. 19. (A) Schematic of bioactive glass (45S5) ossicular replacement prosthesis bonding to stapes footplate (left) and the eardrum (right). (B) Actual prostheses.

Les matériaux bioactifs présentent de bien meilleurs résultats que les bioinertes

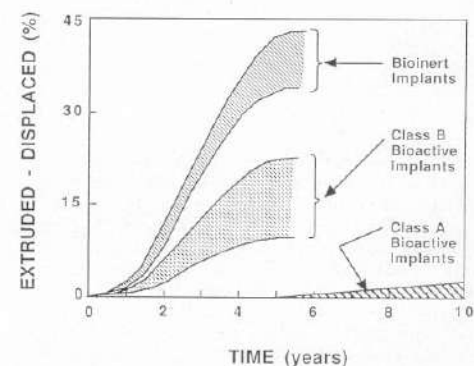
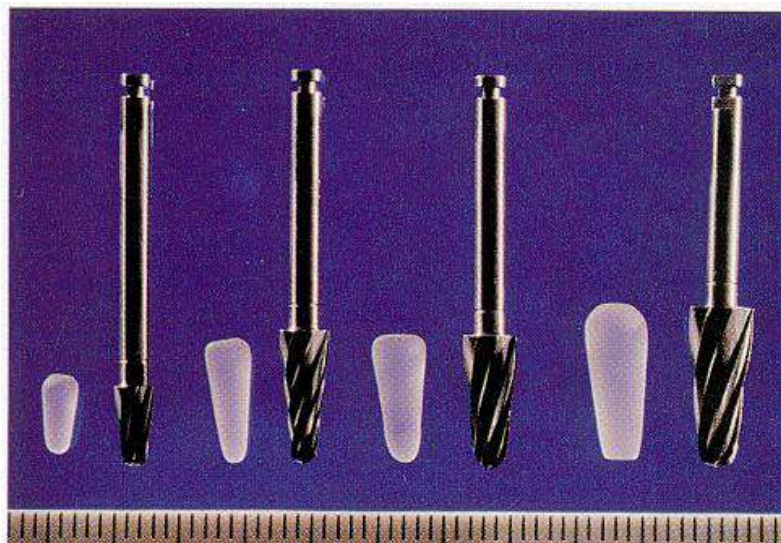
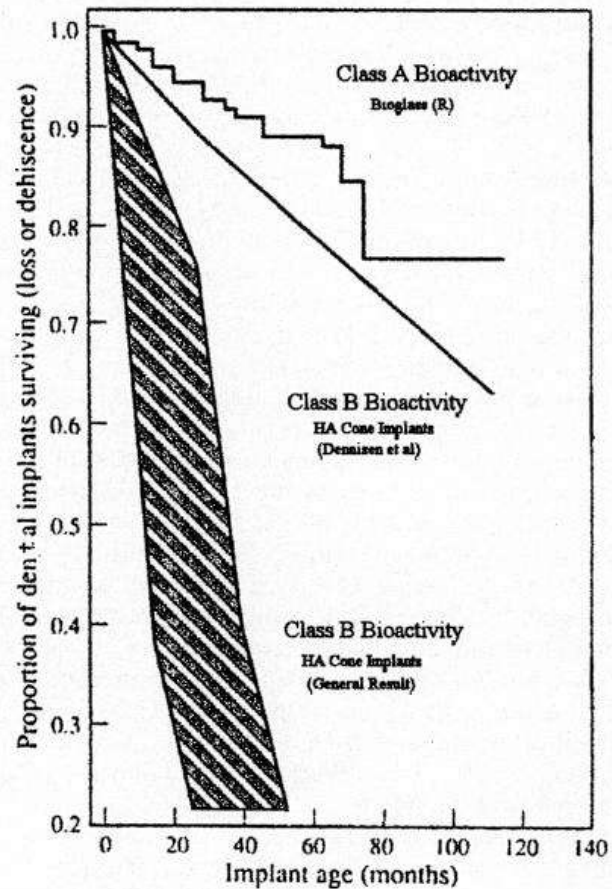


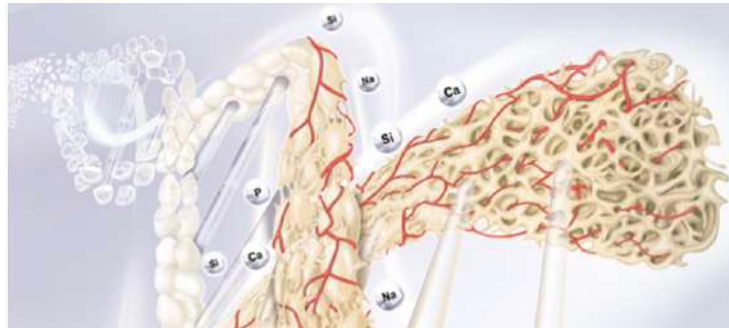
Fig. 20. Survivability comparison of bioinert implants, Class B bioactive implants (synthetic HA) and class A bioactive glass implants (45S5) used to replace middle-ear bones. (Analysis courtesy of Keith Lobel, University of Florida.)

Préservation de la mâchoire après extraction de dents (ERMI)



L'implant est très stable





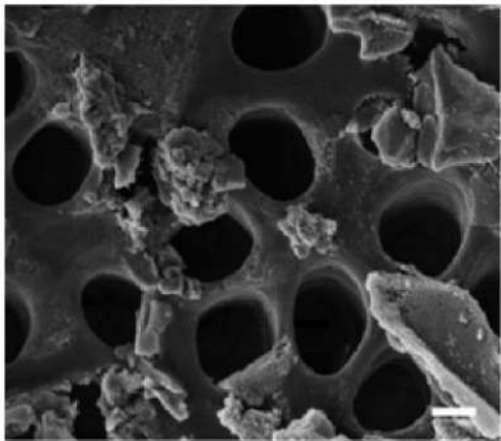
GlassBone® Granules



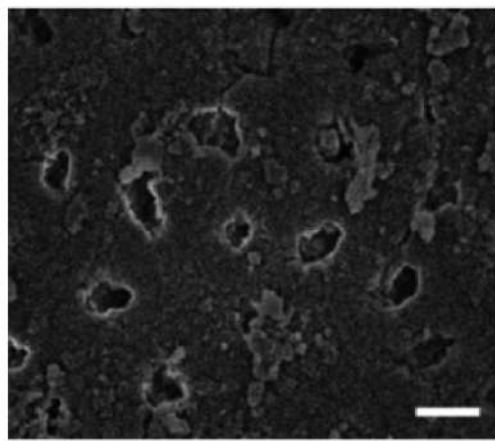
GlassBone® Putty



Traitements de la sensibilité dentaire



a) immédiatement après application du dentifrice les particules de bioverre adhèrent à la dentine, les microtubules sont visibles et très exposés



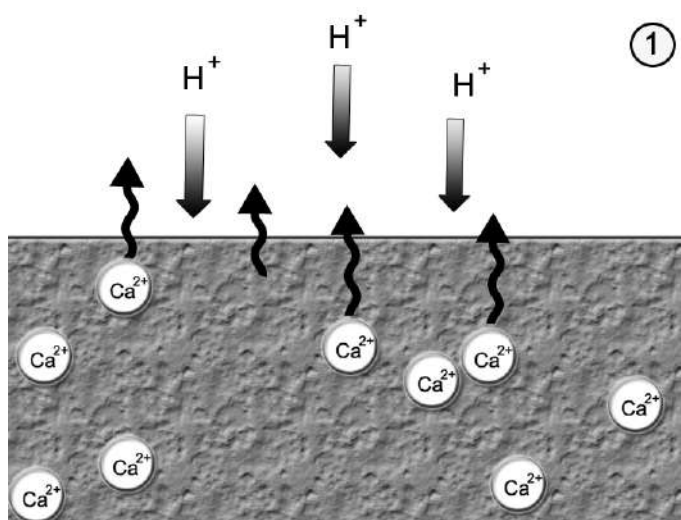
b) 5 jours après, la surface est complètement recouverte par de l'apatite et les tubules protégés



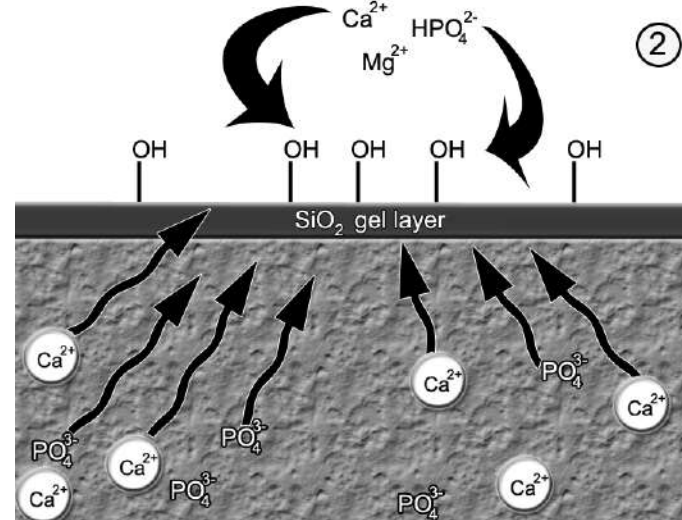
c) image du produit commercial

Figure 13 – Images en microscopie électronique à balayage de dentine traitée au moyen d'un dentifrice contenant des microparticules de bioverre Novamin® (taille de la barre d'échelle : 1 micromètre) et produit commercial (adapté avec permission d'après [73])

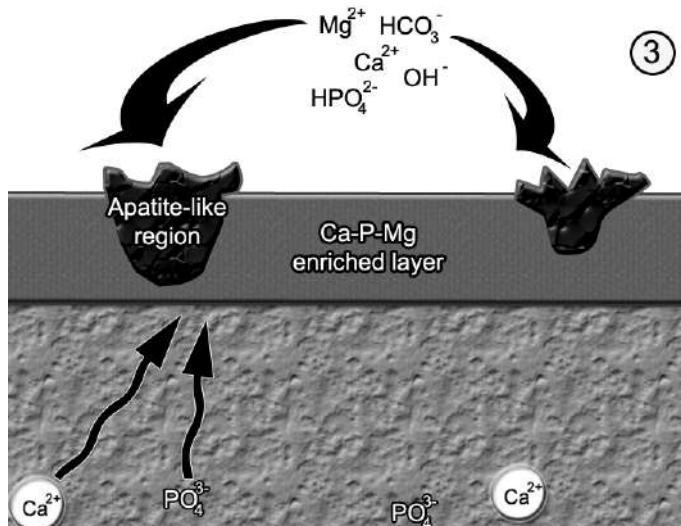
Processus physico-chimique



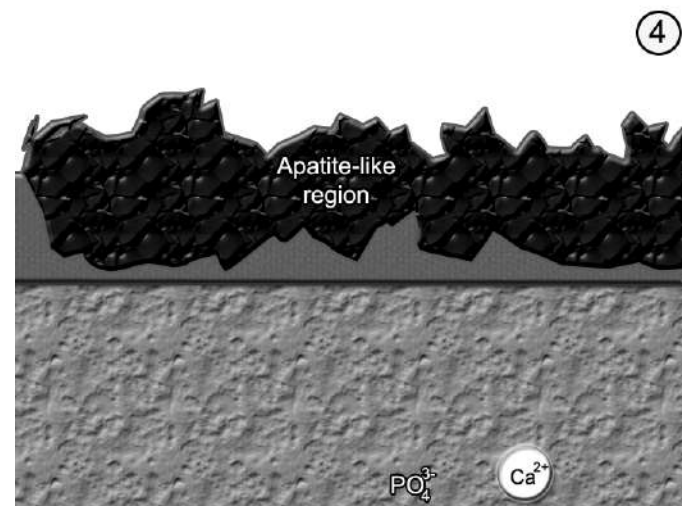
1) Dealkalinisation de la surface



2) Migration des ions à la surface du verre

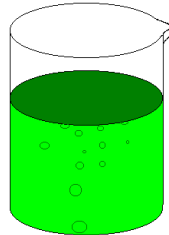
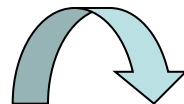
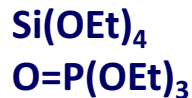
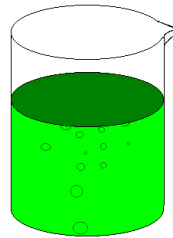


3) Formation d'une couche amorphe
Ca-P-Mg; îlots apatitiques



4) Croissance d'une couche d'apatite
biomimétique

Bioverres par Chimie Douce

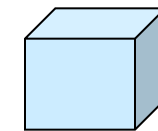


(Ca,P,Si) sol

Tensio actif



Mousse



Gel



Monolithe



Poudre

Séchage

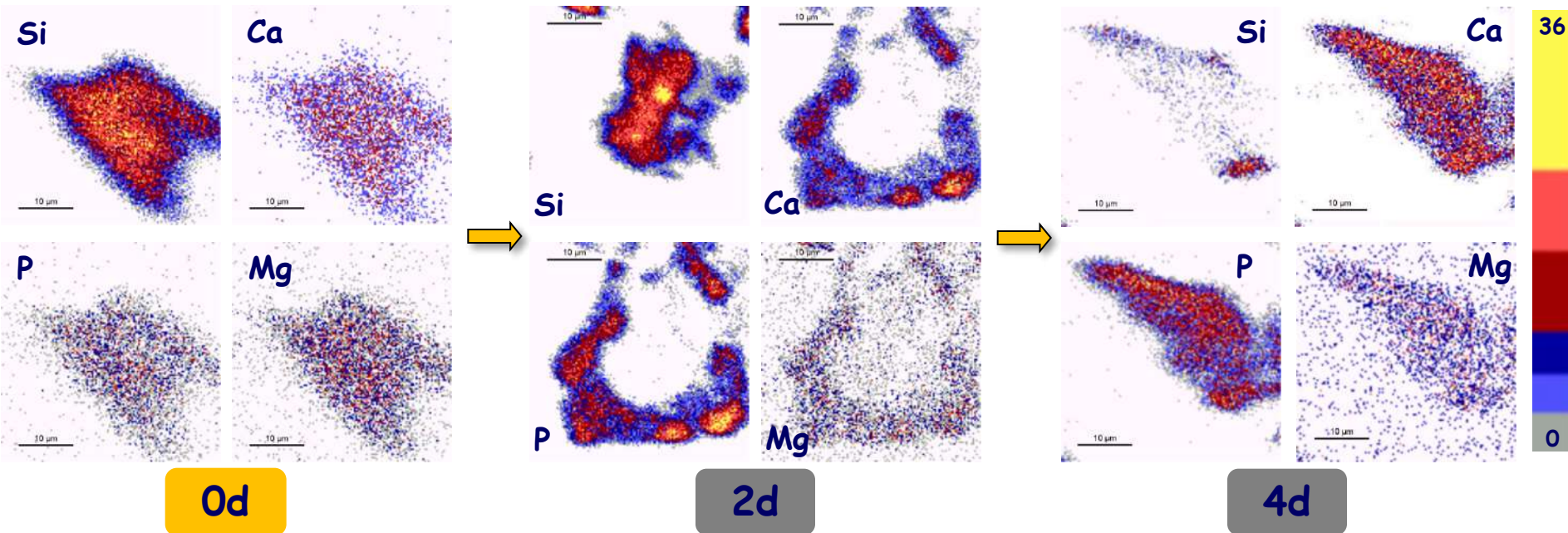
Traitement

Contrôle fin de la Bioactivité via :

- contrôle de la composition (dopage)
- contrôle de la porosité/morphologie

Cartographie chimique

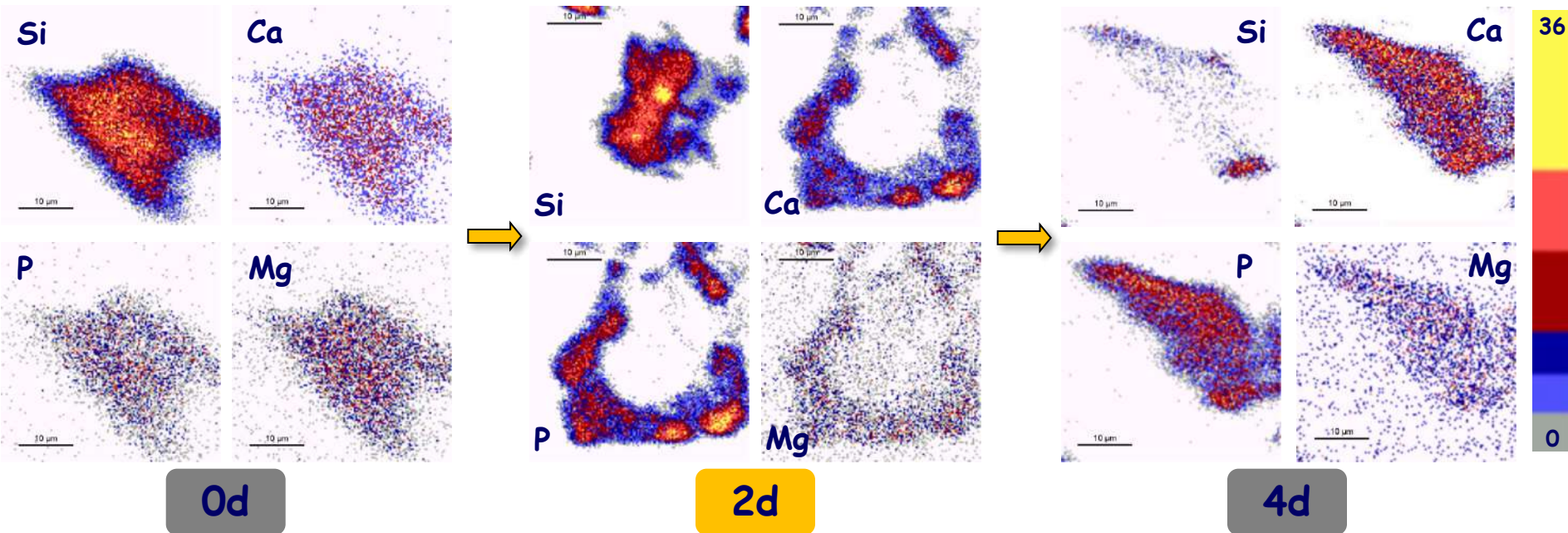
B67,5 Mg5



1st step Homogeneous concentrations of Si, Ca, P, Mg inside the grain

Cartographie chimique

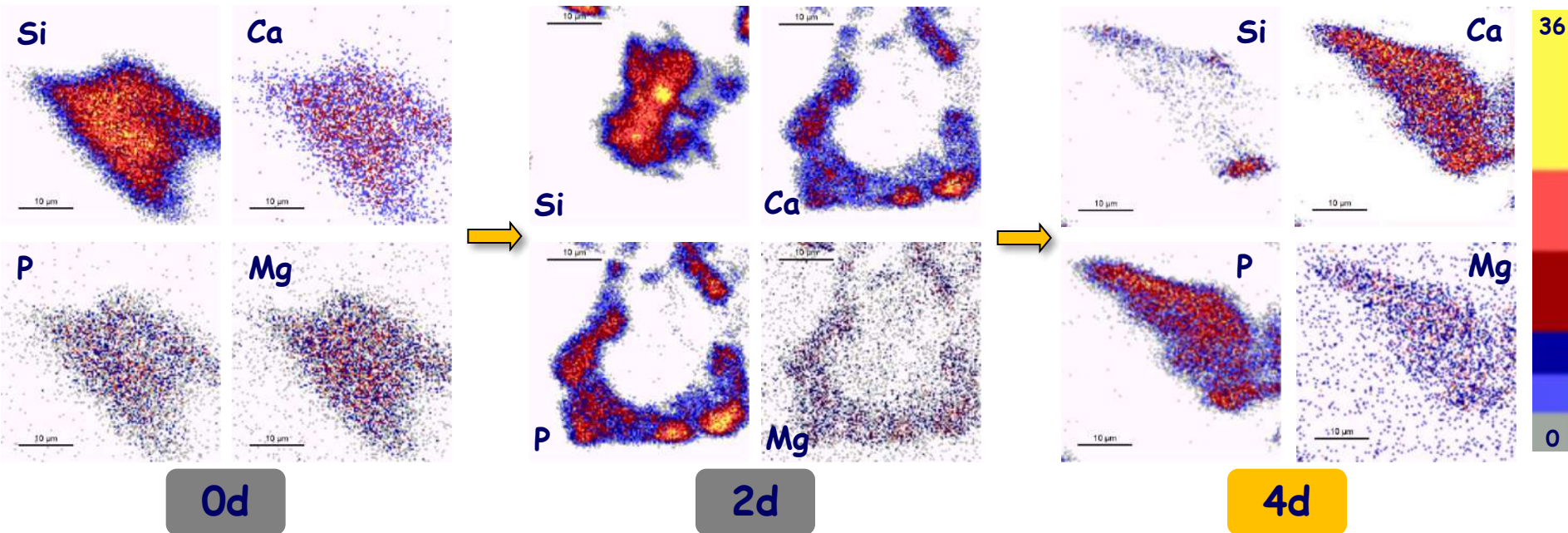
B67,5 Mg5



2nd step Two distinct zones :
- Core rich in Si
- Shell Ca-P-Mg

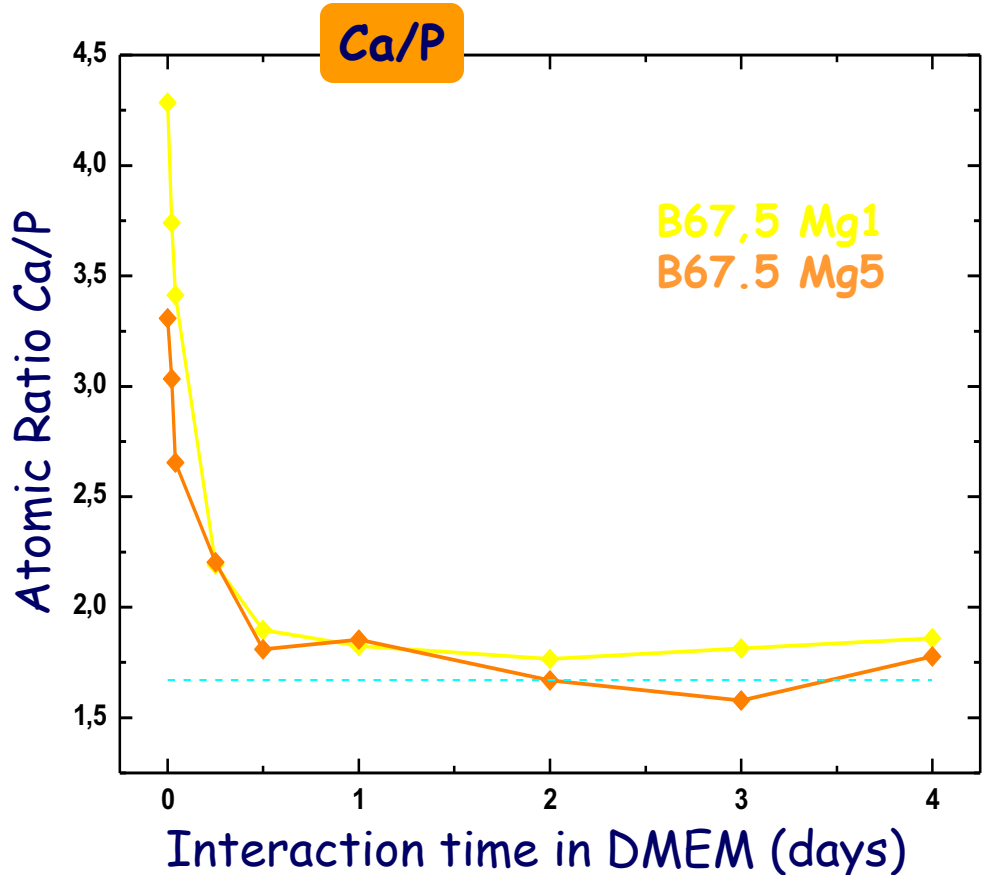
Cartographie chimique

B67,5 Mg5



3rd step Grain totally transformed into calcium phosphate

Evolution of Ca/P in the periphery

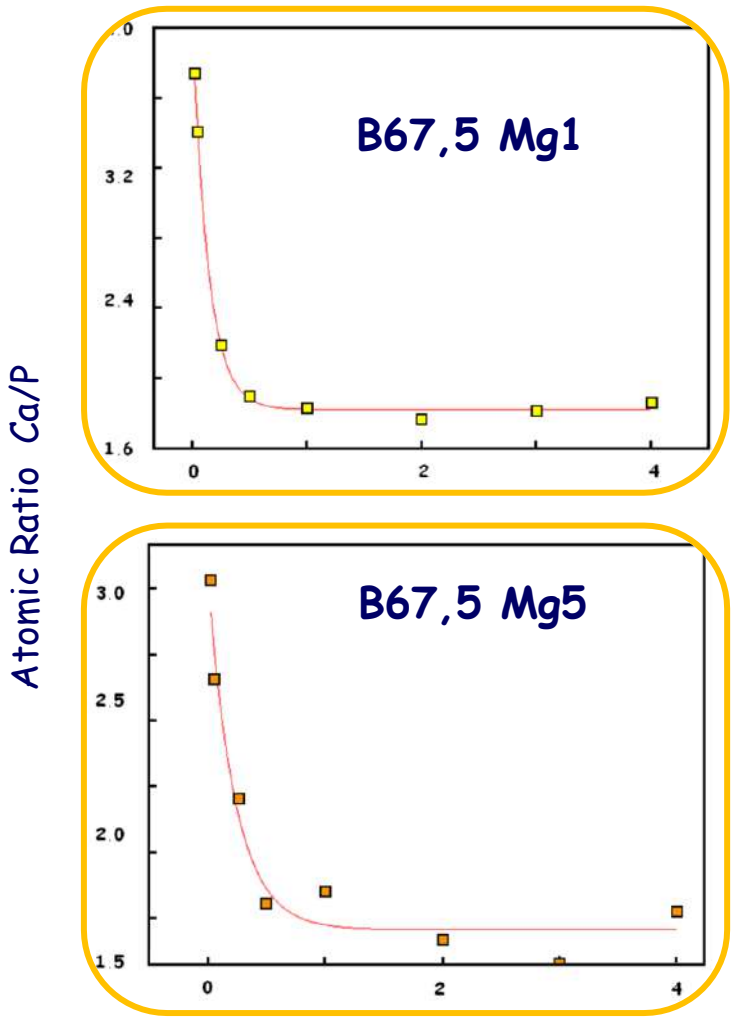


Exponential decay

After 2 days, common limit
around 1,66 (apatite)

$$R_{\text{Ca}/\text{P}} = A \cdot \exp \left(- \frac{t}{\tau} \right) + R_{\text{lim}}$$

Evolution of Ca/P in the periphery



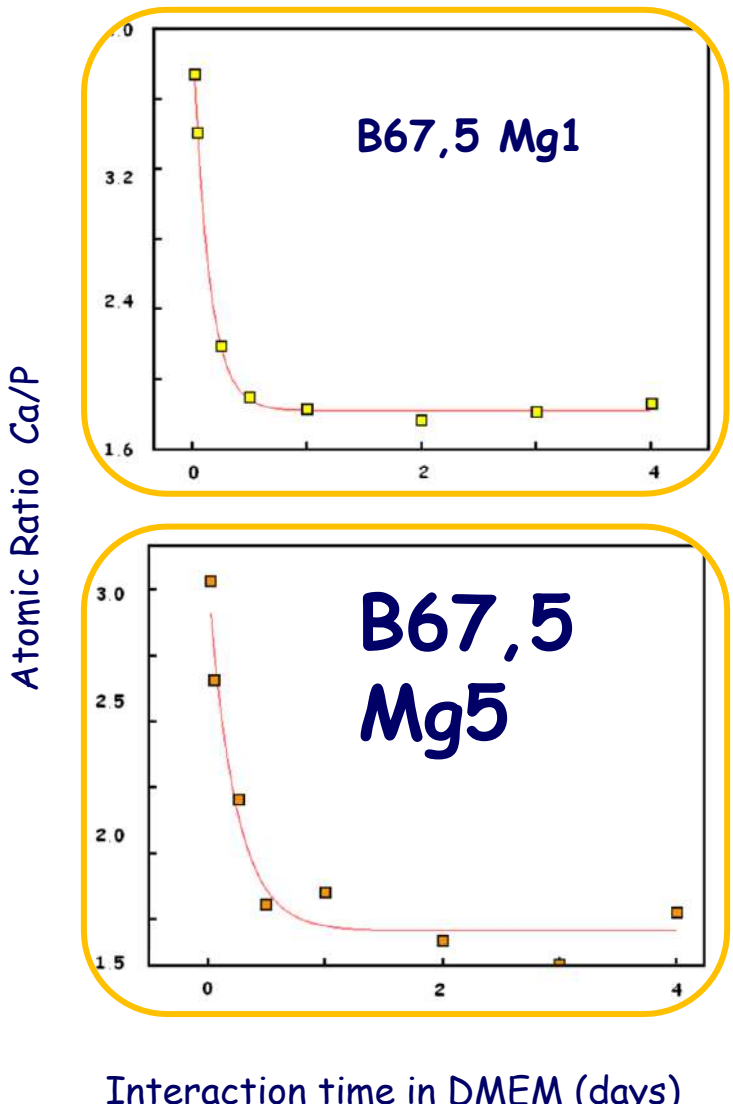
$$R_{Ca/P} = A \cdot \exp\left(-\frac{t}{\tau}\right) + R_{lim}$$

A table comparing the parameters of the Ca/P evolution model ($R_{Ca/P}$) for three different glass compositions. The table includes the glass type, the characteristic time constant (τ in hours), and the limiting value (R_{lim}). Arrows indicate the trend of increasing τ and decreasing R_{lim} from B67,5 to B67,5 Mg5.

Glass	τ (hours)	R_{lim}
B67,5	0.5	1.90
B67,5 Mg1	2.71	1.82
B67,5 Mg5	4.41	1.7

Interaction time in DMEM (days)

Evolution of Ca/P in the periphery



$$R_{Ca/P} = A \cdot \exp\left(-\frac{t}{\tau}\right) + R_{\lim}$$

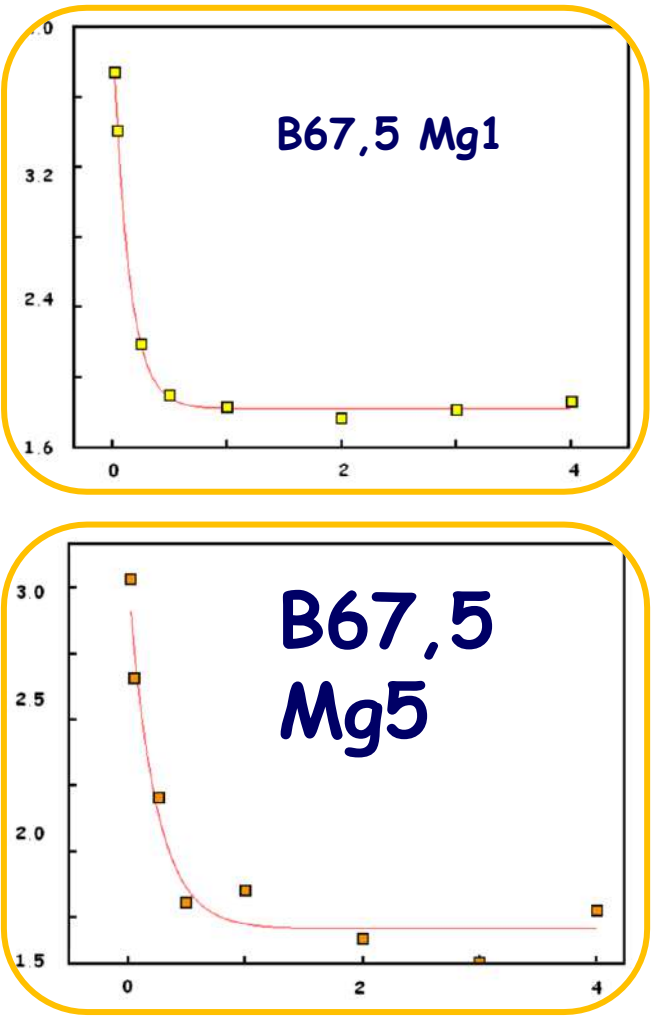
A table comparing three different glass compositions based on their characteristic time (τ) and limiting rate (R_{\lim}). The table includes arrows indicating the trend of increasing τ and decreasing R_{\lim} from B67,5 to B67,5 Mg5.

Glass	τ (hours)	R_{\lim}
B67,5	0.5	1.90
B67,5 Mg1	2.71	1.82
B67,5 Mg5	4.41	1.7

Slow down effect of
MAGNESIUM

Evolution of Ca/P in the periphery

Atomic Ratio Ca/P



Interaction time in DMEM (days)

$$R_{Ca/P} = A \cdot \exp\left(-\frac{t}{\tau}\right) + R_{lim}$$

Glass

τ (hours)

R_{lim}

Glass	τ (hours)	R_{lim}
B67,5	0.5	1.90
B67,5 Mg1	2.71	1.82
B67,5 Mg5	4.41	1.7

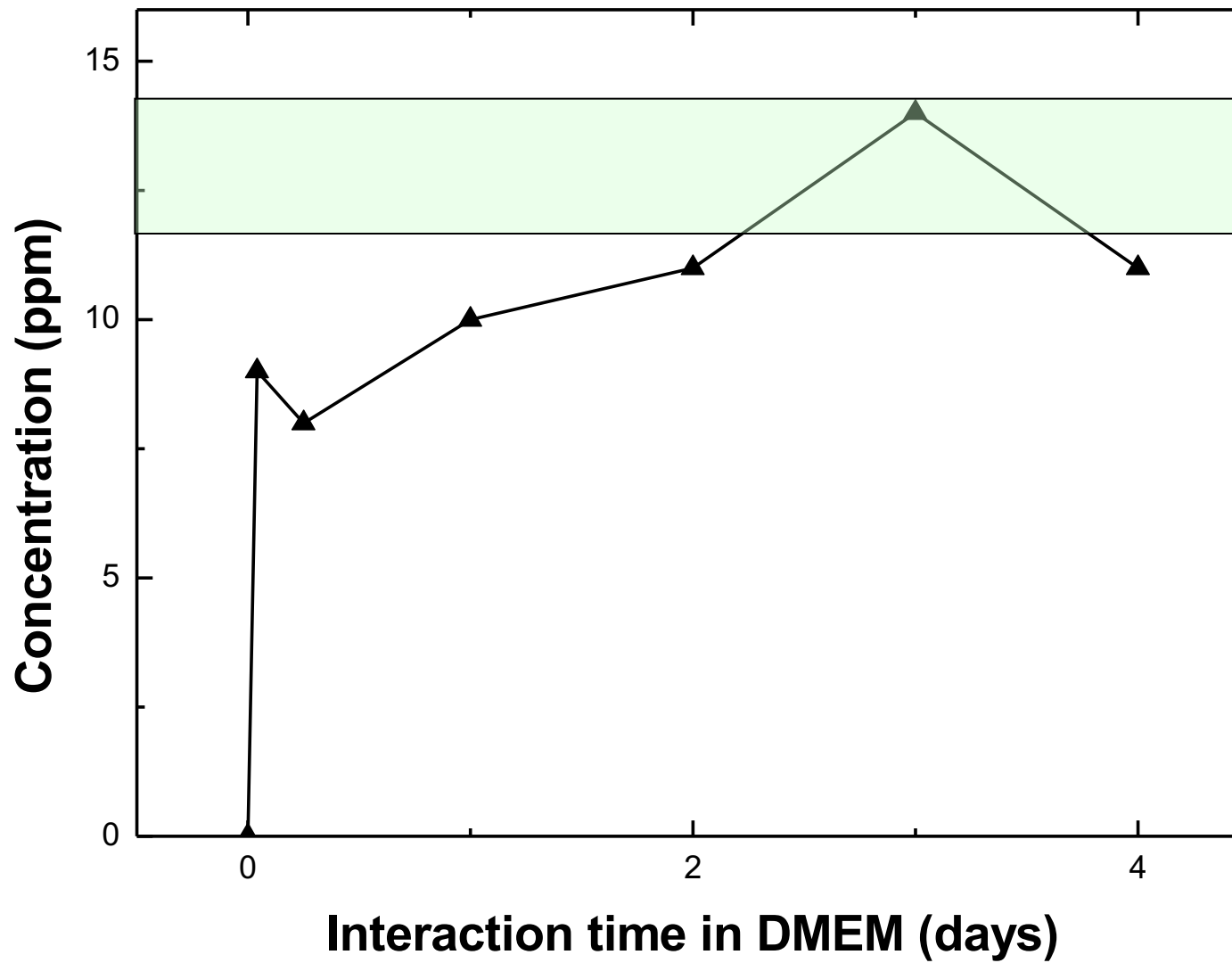
Formation of APATITE

Other doping elements

Element	Dissolution	CaP layer Kinetic Stoichiometry	Dopant	Reference
P	Delayed	Delayed 😊	Incorporation	J. Phys. Chem. C 2008, 112, 9418.
Mg Bactericidal Anti inflammatory	Delayed	Delayed 😊	Incorporation Release	PCCP 2009, 11, 10473
Sr Anti osteoporosis Anti inflammatory	Delayed	Delayed 😊	Incorporation Release	Chem. Mat. 2008, 20, 4969 J. Mat. Chem. (2009), 19, 2940
Zn* Bone formation Anti inflammatory	Delayed	Delayed 😊	- Release	J. Phys. Chem. C 2008, 112, 13663.

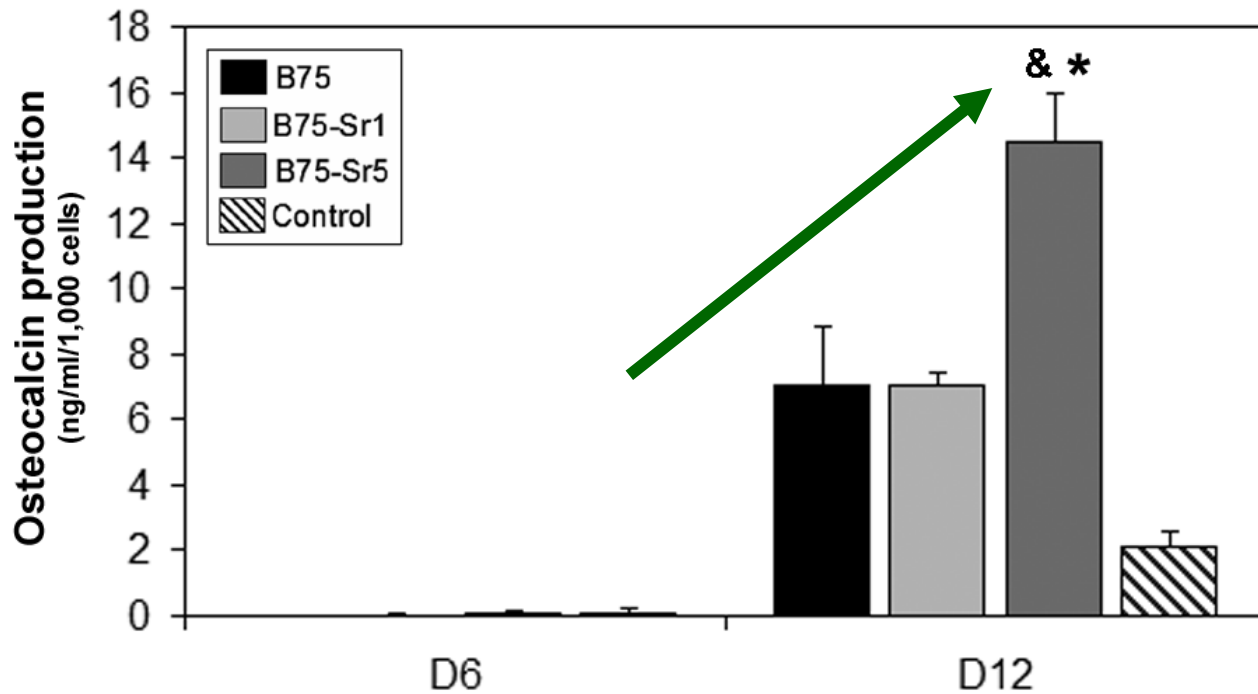
* Binary glass

Sr²⁺ delivery in solution

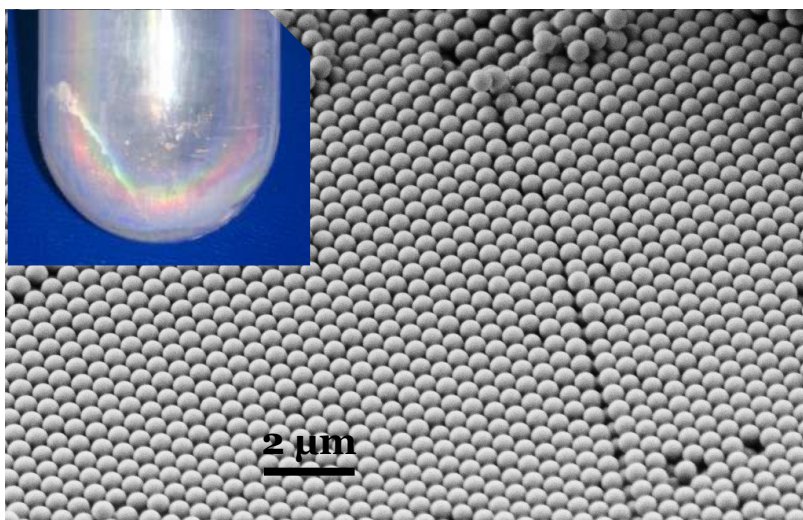
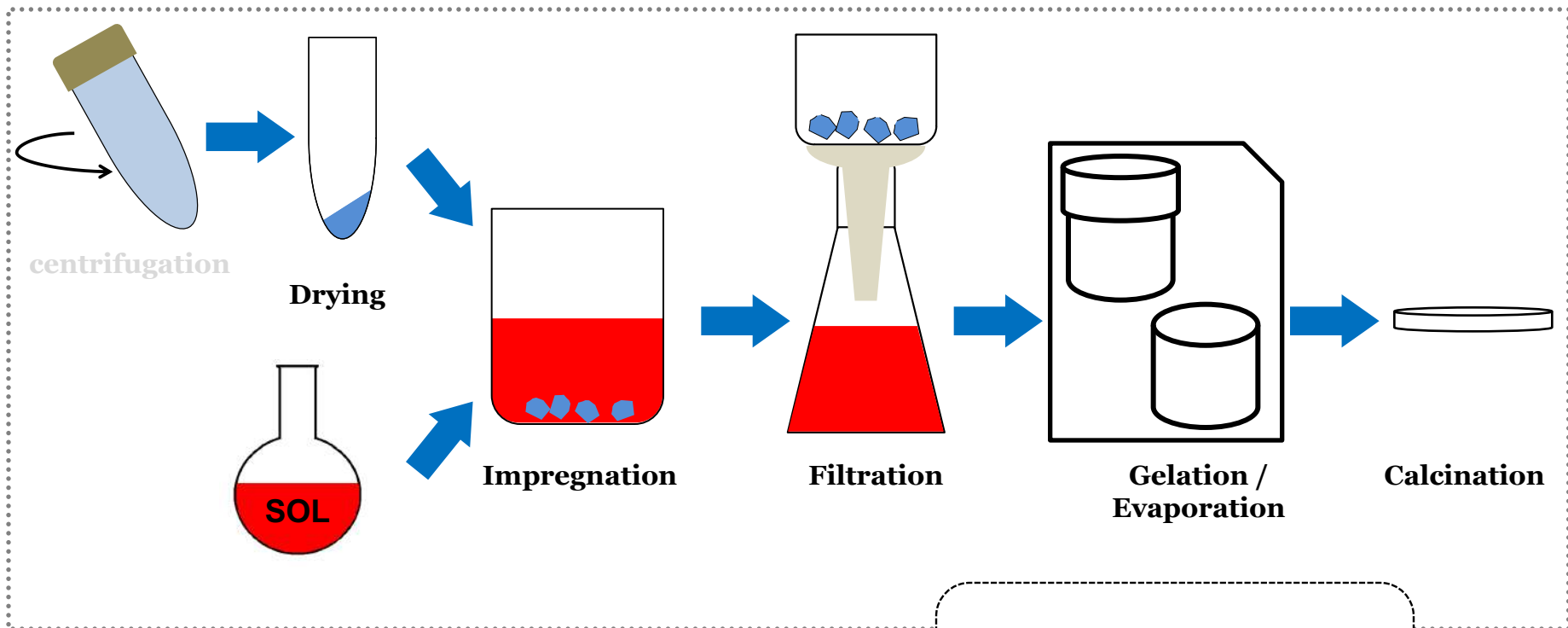


Stimulation of differentiation of osteogenic cells

Osteocalcine, Runx2 , Osterix, Dlx5

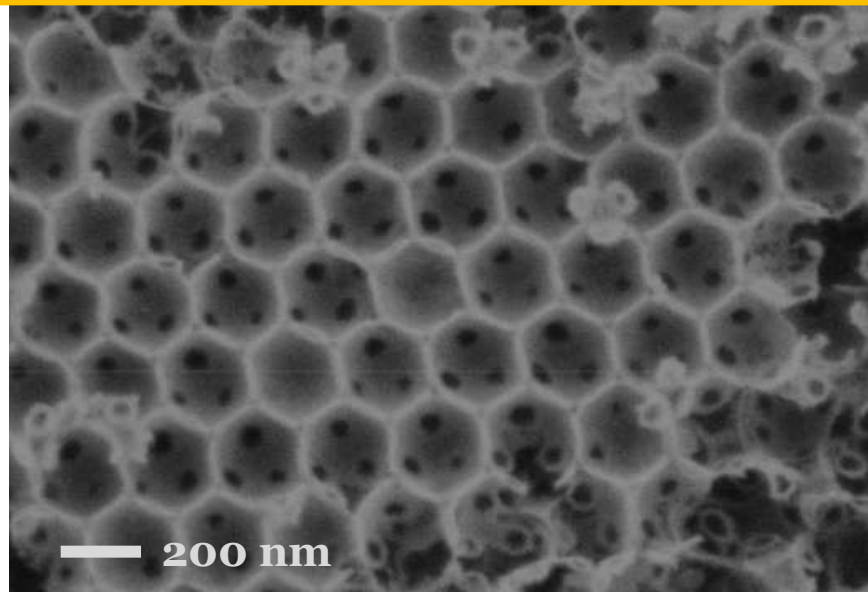
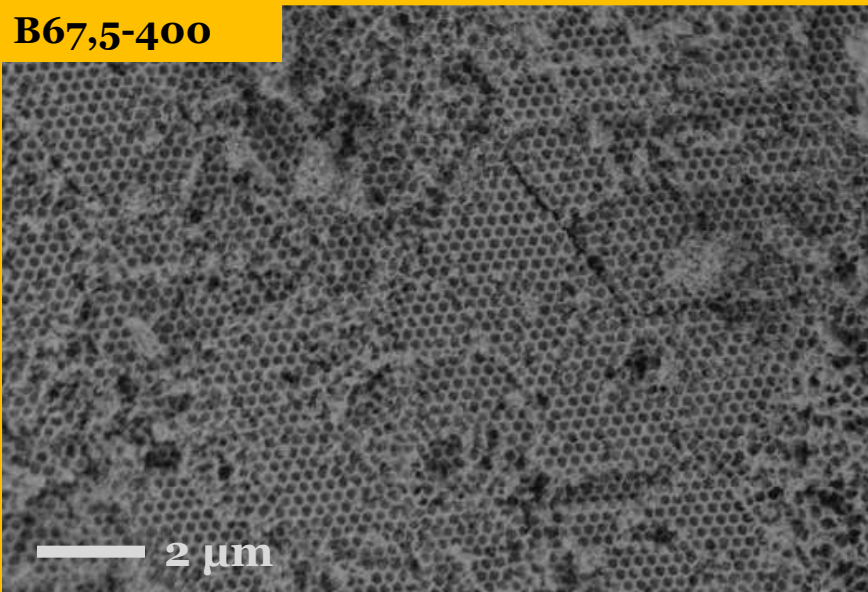


Verres Ternaires Macroporeux

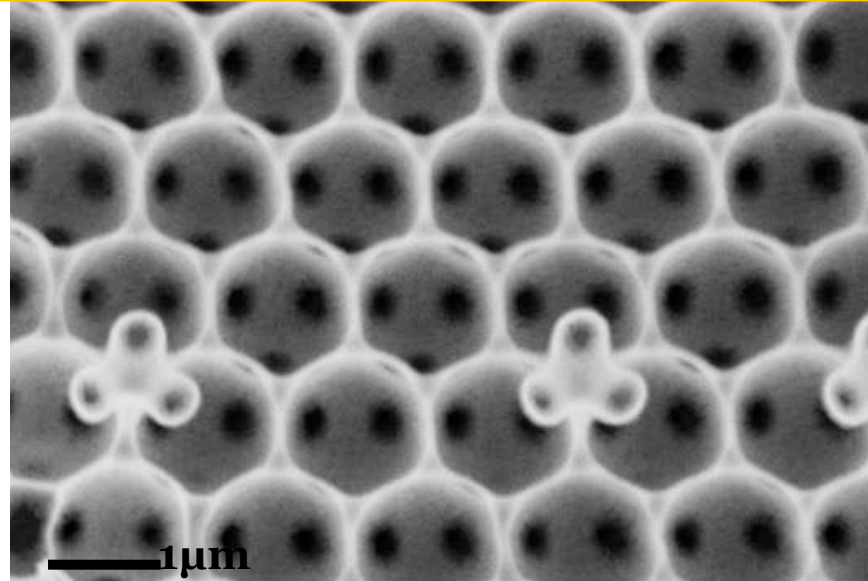
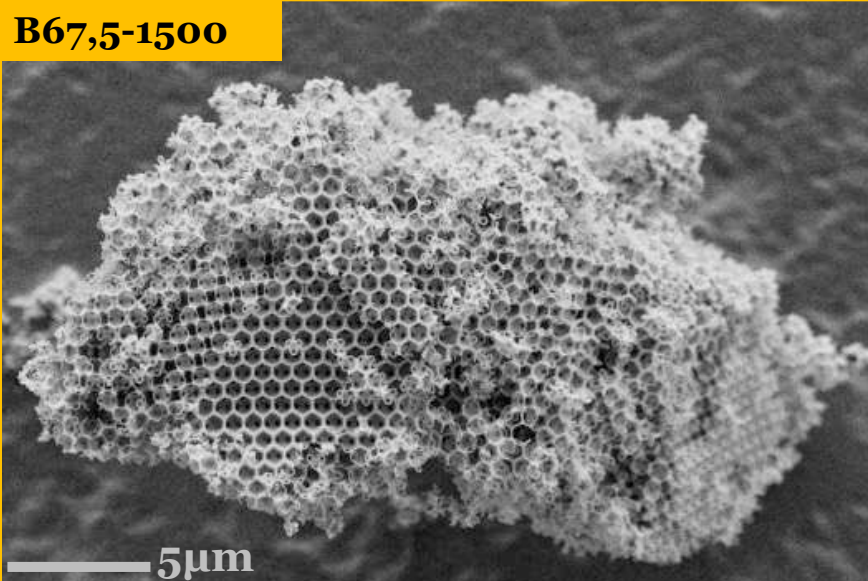


Beads diameter
430 nm
820 nm
1500 nm

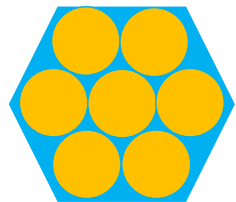
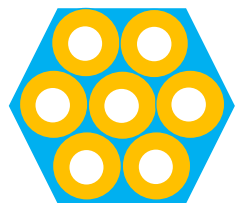
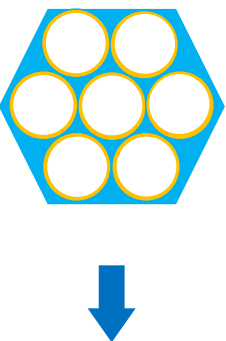
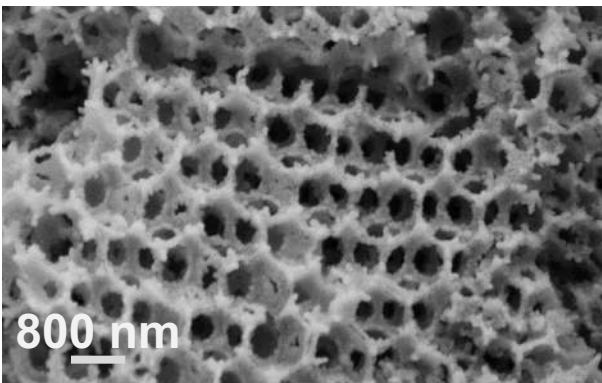
B67,5-400



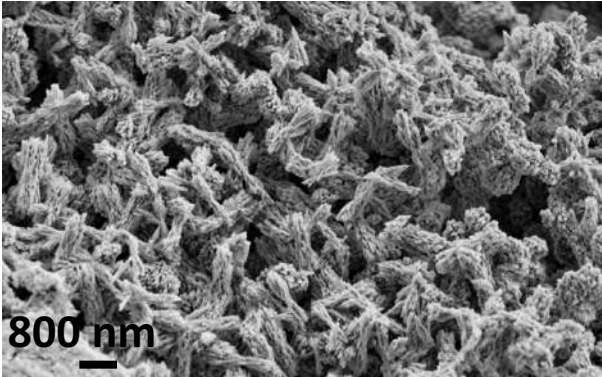
B67,5-1500



Surfacic phenomenon (1h)



Volumic phenomenon (12h)

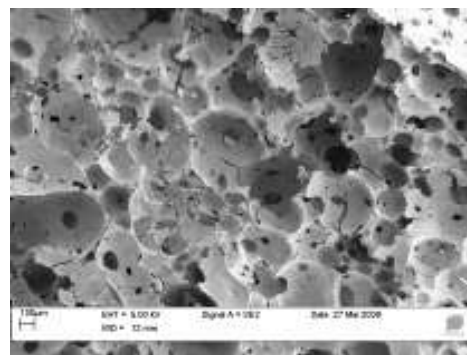
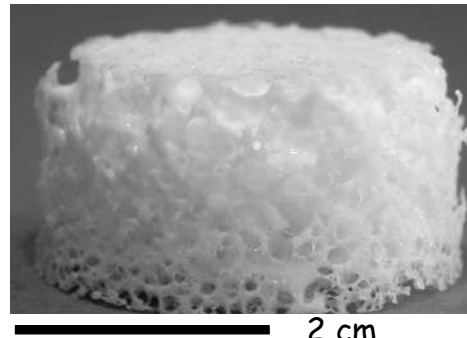
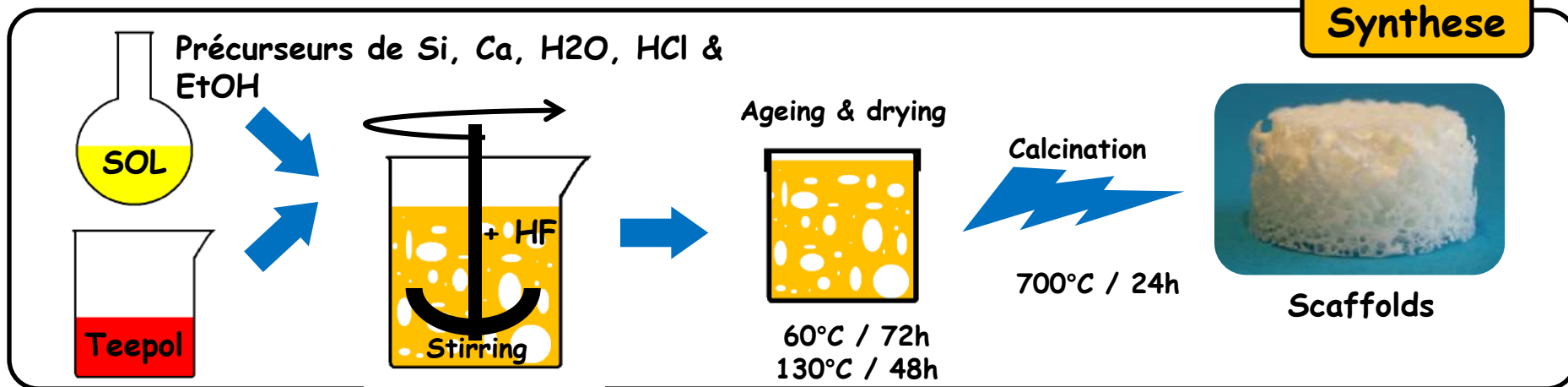


	Diameter (nm)	Macroporous volume (cm ³ .g ⁻¹)
B67,5-400	387	4,47
B67,5-800	577	7,01
B67,5-1500	943	8,16

Higher porous volume

More CaP phases

Synthese : mousses de verre²



Densité

Apparent density → 0.24 g.cm⁻³

Skeleton density → 2.38 g.cm⁻³

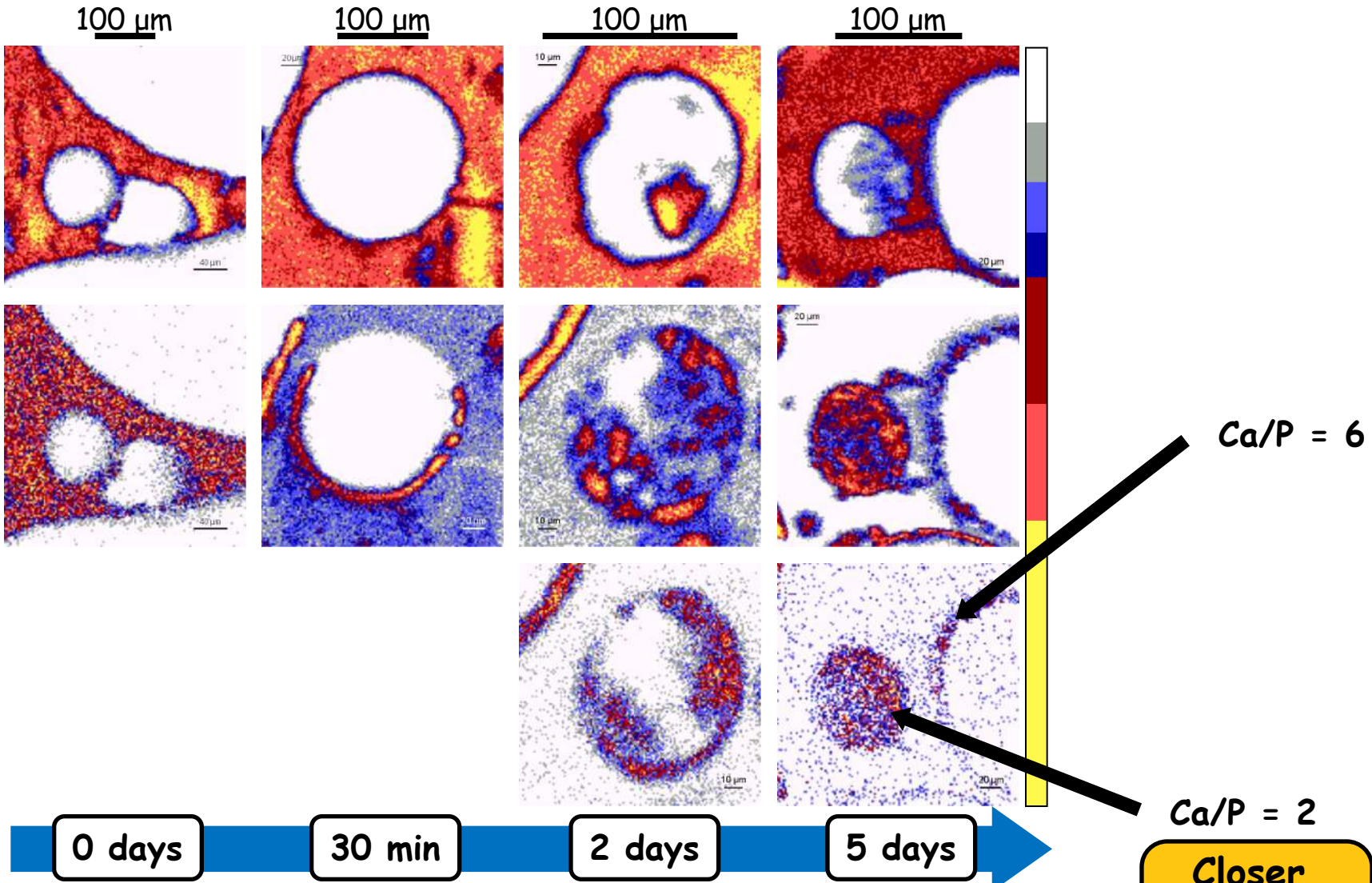
90% de porosité

Surface spécifique & volume poreux

166 m².g⁻¹

0.764 cm³.g⁻¹

Imagerie chimique: mousses de verre binaire



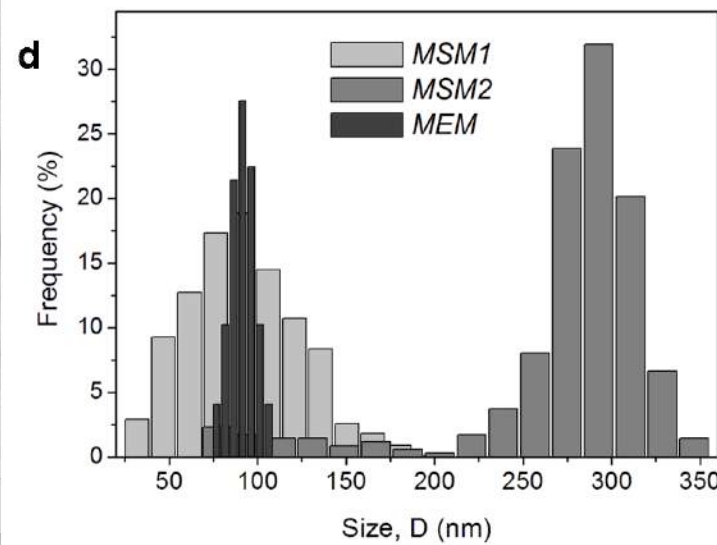
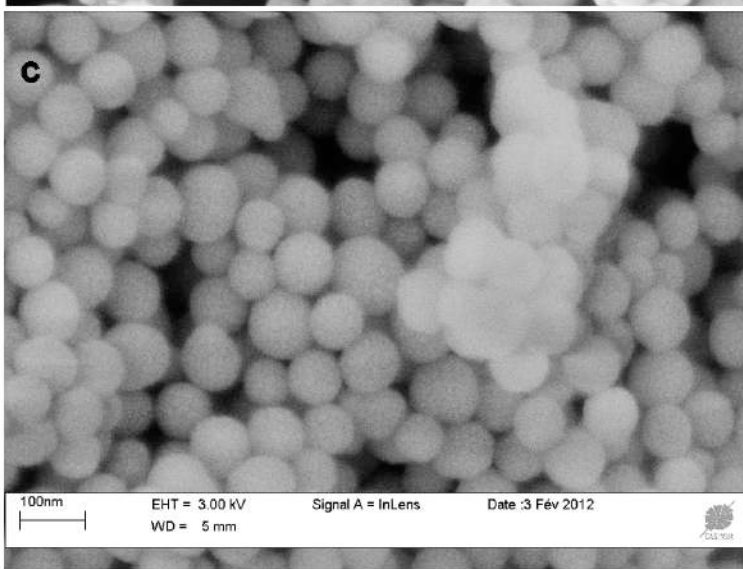
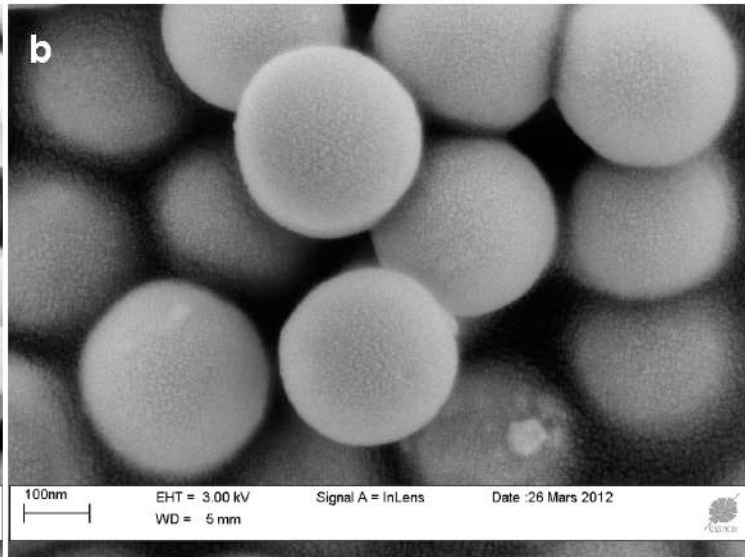
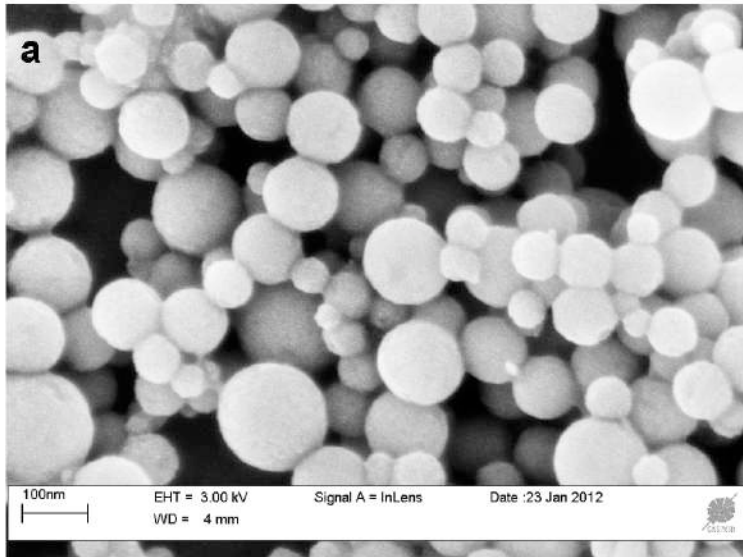
J. Lacroix, J. Phys. Chem. B 117(2), (2013), 510-517

Ł. John, Appl. Mater. Interf., 2(6), (2010), 1737-1742

Closer
to apatite
(1.67)

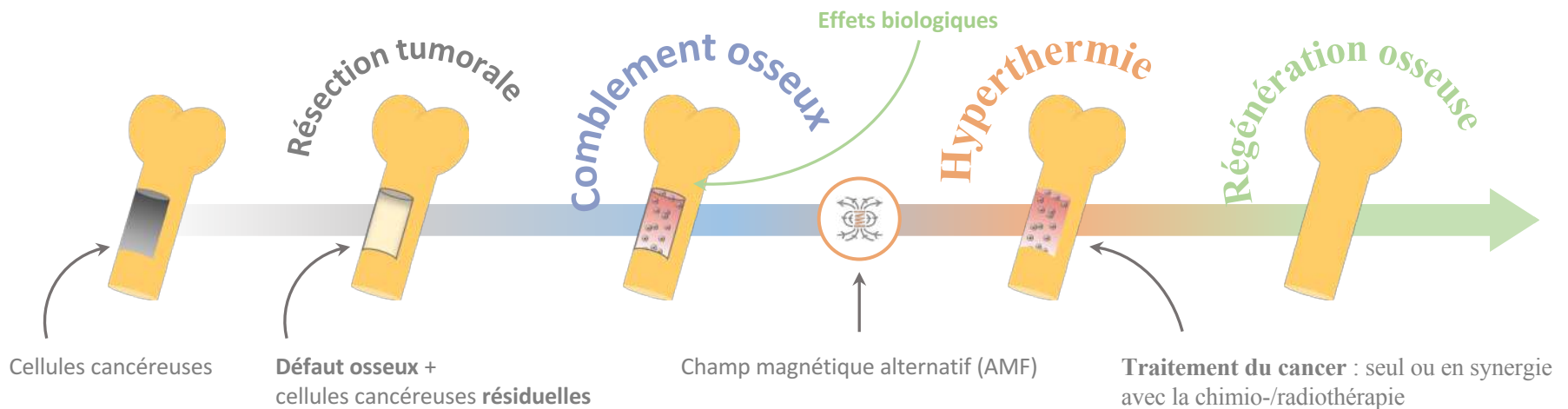
Nanoparticules

A. Lukowiak Post-Doc



Hétérostructures cœur-coquille

Thèses X. Kesse, F. Vergnaud



Verre bioactif $\text{SiO}_2\text{-CaO-(CuO)}$

- Formation d'**hydroxyapatite (HAp)** en milieu biologique et relargage des ions constituants ^[1]
- Nanoparticules (NPs)** par voie **sol-gel**
- Dopage au cuivre** ^[2]

[1] Vichery et Nedelec, *Materials*, 9, 2016, 288

[2] Kargozar et al., *Mater Sci Eng C* 121, 2021, 111741

NPs superparamagnétiques $\gamma\text{-Fe}_2\text{O}_3$

- Génération de chaleur (hyperthermie) sous champ magnétique alternatif** ^[3]
- Amélioration possible de l'adhésion, la prolifération et la différenciation des cellules osseuses ^[4]
- Aucune aimantation rémanente

[3] Wust et al., *Lancet Oncol* 3, 2002, 487

[4] Wang et al., *J. Mater. Chem. B*, 3, 2015, 4377

Les nanoparticules magnétiques (MNPs) d'oxyde de fer

Les NPs superparamagnétiques

-  **Biocompatibles** : agents de contraste IRM, traitement de l'anémie...
-  **Synthèse par coprécipitation** simple et « verte », **compatible** avec la méthode Stöber pour l'encapsulation ultérieure
-  Forte aimantation à saturation (M_s) et rémanence nulle

L'hyperthermie magnétique

Pouvoir chauffant SLP (W/g_{Fe}) affecté par plusieurs paramètres :

- Intrinsèques** : taille des particules, anisotropie, interactions dipolaires magnétiques
- Extrinsèques** : viscosité du milieu et paramètres du champ (AMF)

$$ILP = \frac{SLP}{f \times H_0^2} \text{ (nH} \cdot \text{m}^2/\text{kg}_{\text{Fe}}\text{)} \text{ pour s'affranchir des paramètres d'AMF}$$

Caizer et Rai (ed.), *Magnetic Nanoparticles in Human Health and Medicine*, 2021
Fortin et al., *European Biophysics Journal* 37(2), 2008, 223-228

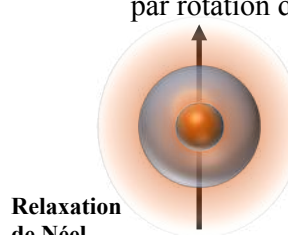


Champ magnétique alternatif (AMF)
d'amplitude H_0 et de fréquence f

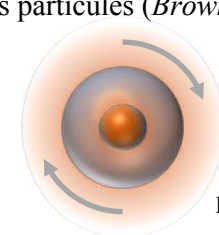
AMF

Génération de chaleur

par relaxation magnétique (Néel) ou
par rotation des particules (Brown)



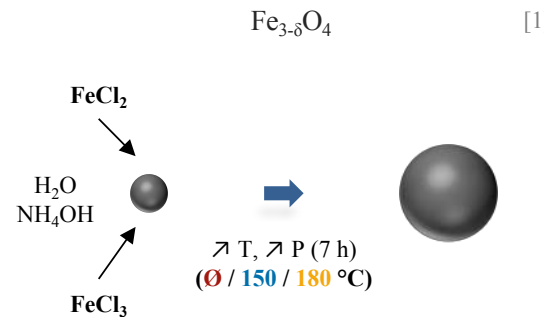
Relaxation de Néel



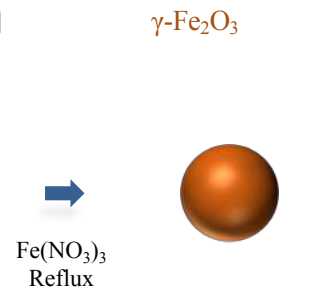
Relaxation de Brown

Synthèse des cœurs magnétiques (MNPs) et encapsulation

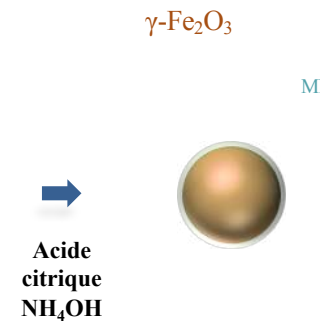
Coprécipitation & étape hydrothermale



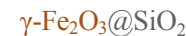
Oxydation



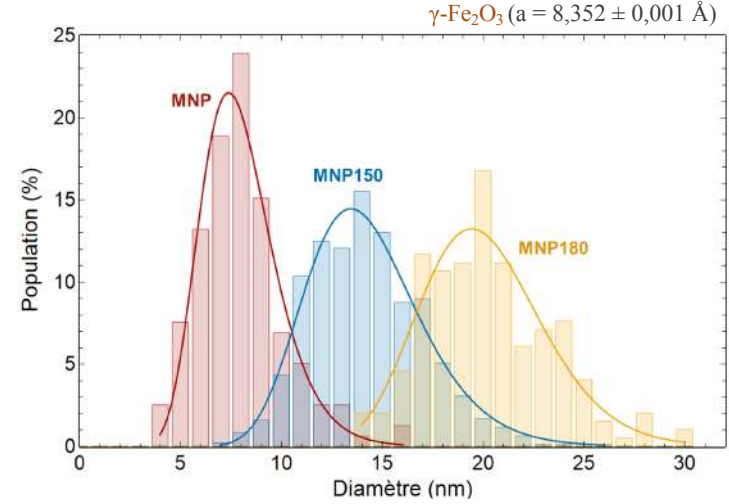
Citratation



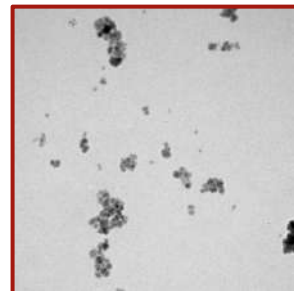
Croissance de la coquille



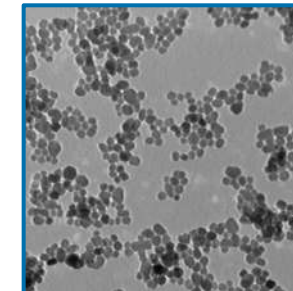
$\gamma\text{-Fe}_2\text{O}_3 (a = 8,352 \pm 0,001 \text{ \AA})$



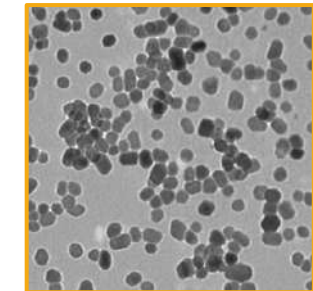
MNP (8 ± 2 nm)



MNP150 (14 ± 3 nm)



MNP180 (20 ± 3 nm)

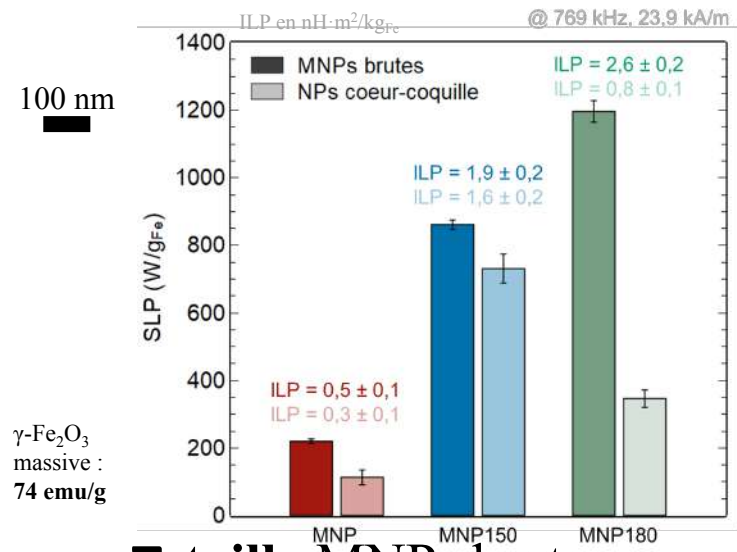
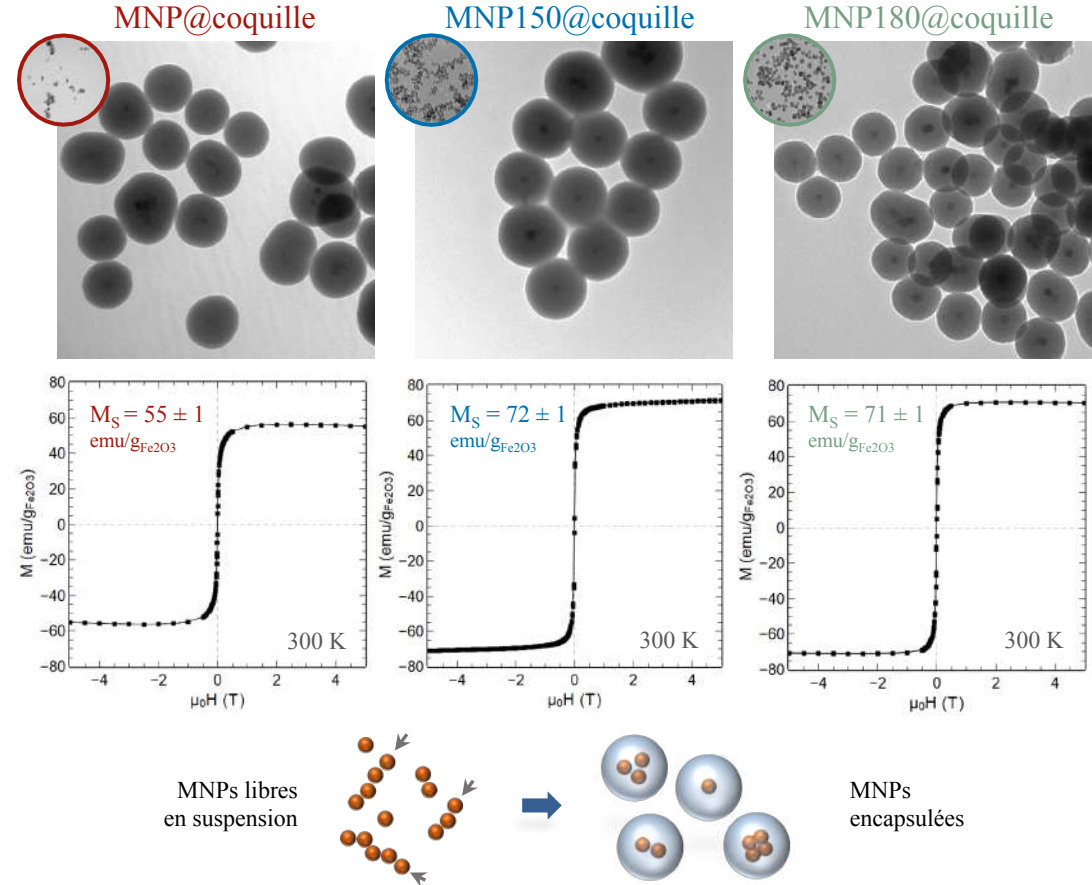


[1] Ozel et al., Journal of Superconductivity and Novel Magnetism 28(3), 2015, 823-829

[2] Kesse et al., ACS Applied Materials & Interfaces 12(42), 2020, 47820-47830

100 nm

Effet du type de cœur et de la coquille sur le pouvoir chauffant



↗ taille MNPs brutes =

↗ M_S et ↗ SLP

Encapsulation = chute du
SLP

MNP150 à privilégier



Merci de votre attention...